

УДК 531.36:351.53

© 1996 г. А. П. МАРКЕЕВ

## СУБГАРМОНИЧЕСКИЕ КОЛЕБАНИЯ ДЕМПФИРОВАННОГО МАЯТНИКА ПРИ ПАРАМЕТРИЧЕСКОМ ВОЗБУЖДЕНИИ

Исследуются нелинейные колебания маятника, точка подвеса которого совершает гармонические колебания вдоль вертикали. Амплитуда колебаний точки подвеса маятника мала по сравнению с его длиной. К маятнику приложен малый демпфирующий момент сил вязкого трения. Предполагается, что удвоенная частота собственных колебаний маятника равна или близка частоте колебаний точки подвеса. При помощи канонических преобразований и методов Ляпунова и Пуанкаре решена задача о существовании и устойчивости колебаний маятника с периодом, равным удвоенному периоду колебаний его точки подвеса. Некоторые исследования субгармонических колебаний рассматриваемого маятника проводились ранее в [1—4].

**1. Постановка задачи. Уравнения движения.** Пусть маятник представляет собой абсолютно твердый невесомый стержень длины  $l$ , вращающийся вокруг одного своего конца и несущий на другом конце точечную массу  $m$ . Все ниже следующие уравнения и результаты применимы и для физического маятника; необходимо только величину  $l$  заменить на его приведенную длину, равную  $\rho^2/d$ , где  $\rho$  — радиус инерции,  $d$  — расстояние от центра тяжести до точки подвеса.

Движение маятника описывается дифференциальным уравнением

$$\ddot{\alpha} + 2k\dot{\alpha} + (\omega_0^2 - \ddot{z}_0/l) \sin \alpha = 0 \quad (1.1)$$

где точками обозначено дифференцирование по времени  $t$ ,  $k$  — коэффициент демпфирования,  $\omega_0 = \sqrt{g/l}$  — частота малых колебаний маятника в окрестности его устойчивого равновесия  $\alpha = 0$  при отсутствии демпфирования и вибраций точки подвеса,  $z_0$  — смещение точки подвеса  $O$  от некоторого фиксированного положения  $O_*$  (фиг. 1).

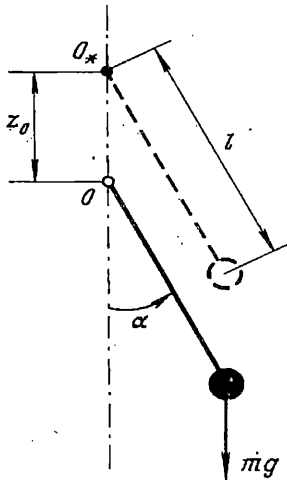
Пусть колебания точки подвеса вдоль вертикали происходят по гармоническому закону с амплитудой  $a$  и частотой  $\Omega$ :  $z_0 = a \cos \Omega t$ . Цель данной работы состоит в исследовании нелинейных колебаний маятника в предположении, что отношение  $\omega_0/\Omega$  близко или равно  $1/2$ . Основное внимание уделено устойчивости решения  $\alpha = 0$  уравнения (1.1), отвечающего равновесию маятника на вертикали и задаче о существовании и устойчивости периодических колебаний маятника с частотой  $1/2 \Omega$ . При этом предполагается, что амплитуда колебаний точки подвеса и коэффициент демпфирования малы.

Введем обозначения  $\varepsilon = at^{-1}$ ,  $\delta = kla^{-1}\Omega^{-1}$ ,  $\omega = \omega_0\Omega^{-1}$  и перейдем к новой независимой переменной  $\eta = \Omega t$ . Уравнение (1.1) можно записать в виде следующей эквивалентной ему системы двух дифференциальных уравнений первого порядка:

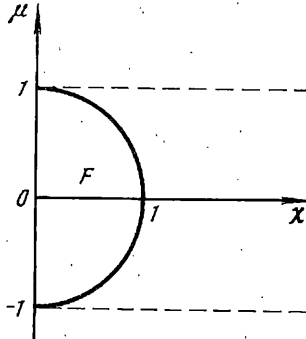
$$d\alpha/d\eta = \partial H/\partial p_\alpha, \quad dp_\alpha/d\eta = -\partial H/\partial \alpha - 2\varepsilon\delta p_\alpha \quad (1.2)$$

$$H = 1/2 p_\alpha^2 - (\omega^2 + \varepsilon \cos \eta) \cos \alpha$$

Величина  $\varepsilon$  — малый параметр задачи.



Фиг. 1



Фиг. 2

Если сделать каноническую замену переменных  $\alpha = \sqrt{\varepsilon/\omega} q$ ,  $p_\alpha = \sqrt{\varepsilon\omega} p$ , то уравнения движения (1.2) примут вид

$$dq/d\eta = \partial H/\partial p, \quad dp/d\eta = -\partial H/\partial q - 2\varepsilon\delta p \quad (1.3)$$

$$H = 1/2 \omega (q^2 + p^2) + \varepsilon (1/2 \omega^{-1} \cos \eta q^2 - 1/24 q^4) + O(\varepsilon^2)$$

**2. Преобразование уравнений движения.** Пусть  $\omega = 1/2 + \varepsilon\beta$ . Используя классическую теорию возмущений [5], сделаем следующую каноническую замену переменных  $q, p \rightarrow x, y$ , приводящую уравнения (1.3) к простейшей форме, отражающей резонансный характер рассматриваемой задачи:

$$q = x + 1/96 \varepsilon (48 \sin \eta y + 5x^3 + 9xy^2) + O(\varepsilon^2)$$

$$p = y - 1/32 \varepsilon (48 \sin \eta x + 5x^2y + y^3) + O(\varepsilon^2)$$

В переменных  $x, y$  уравнения движения (1.3) приобретают вид

$$dx/d\eta = \partial H/\partial y + O(\varepsilon^2), \quad dy/d\eta = -\partial H/\partial x - 2\varepsilon\delta y + O(\varepsilon^2) \quad (2.1)$$

$$H = 1/2 \omega (x^2 + y^2) + \varepsilon [-1/64 (x^2 + y^2)^2 + 1/4 \cos \eta (x^2 - y^2) - 1/2 \sin \eta xy]$$

Величины  $O(\varepsilon^2)$  в (2.1) — ряды, начинающиеся с первых степеней  $x, y$ .

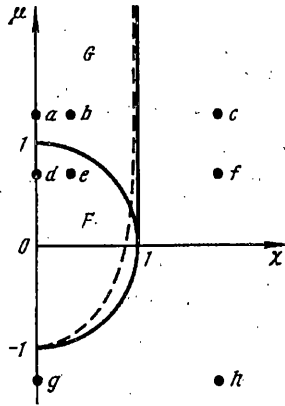
В канонически сопряженных переменных  $\varphi, r$ , вводимых равенствами  $x = \sqrt{2r} \sin \varphi$ ,  $y = \sqrt{2r} \cos \varphi$ , уравнения (2.1) записываются более компактно

$$\frac{d\varphi}{d\eta} = \frac{\partial H}{\partial r} + \varepsilon\delta \sin 2\varphi + O(\varepsilon^2), \quad \frac{dr}{d\eta} = -\frac{\partial H}{\partial \varphi} - 4\varepsilon\delta r \cos^2 \varphi + O(\varepsilon^2) \quad (2.2)$$

$$H = \omega r - 1/16 \varepsilon [r^2 + 8r \cos(2\varphi - \eta)]$$

Каноническая замена переменных  $\varphi_* = \varphi + \varepsilon\delta \cos 2\varphi + O(\varepsilon^2)$ ,  $r_* = r + 2\varepsilon\delta r \sin 2\varphi + O(\varepsilon^2)$  уничтожает быстро осциллирующую составляющую в диссипативных членах правых частей уравнений (2.2), имеющих порядок  $\varepsilon$ . При этом гамильтонова часть уравнений сохраняет свою форму, диссипативные же члены изменяются так, что в первом уравнении они уничтожаются, а во втором принимают вид  $(-2\varepsilon\delta r_*)$ .

Перейдя еще к вращающейся системе координат по формулам  $\varphi_* = 1/2 \eta - \theta$ ,  $r_* = 8\rho$  и введя новую независимую переменную  $\tau = \varepsilon\eta/2$ , получаем окончательно уравнения движения в следующей форме:



Фиг. 3

$$\frac{d\theta}{d\tau} = \frac{\partial \gamma_0}{\partial \rho} + O(\epsilon), \quad \frac{d\rho}{d\tau} = -\frac{\partial \gamma_0}{\partial \theta} - 2\chi\rho + O(\epsilon) \quad (2.3)$$

$$\gamma_0 = -\mu\rho + \rho \cos 2\theta + \rho^2, \quad \mu = 2\beta, \quad \chi = 2\delta$$

Величины  $O(\epsilon)$  в (2.3) имеют период  $2\pi\epsilon$  по  $\tau$  (или  $4\pi\Omega^{-1}$  по  $t$ ).

В декартовых канонических сопряженных переменных  $x_1 = \sqrt{2\rho} \cos \theta$ ,  $x_2 = \sqrt{2\rho} \sin \theta$  уравнения (2.3) принимают вид

$$\frac{dx_1}{d\tau} = \frac{\partial H_0}{\partial x_2} - \chi x_1 + O(\epsilon), \quad \frac{dx_2}{d\tau} = -\frac{\partial H_0}{\partial x_1} - \chi x_2 + O(\epsilon) \quad (2.4)$$

$$H_0 = 1/2 (\mu - 1) x_1^2 + 1/2 (\mu + 1) x_2^2 - 1/4 (x_1^2 + x_2^2)^2$$

Величины  $O(\epsilon)$  в (2.4) — это ряды, начинающиеся с членов первых степеней относительно  $x_1, x_2$ .

Если в (2.3) и в (2.4) отбросить величины  $O(\epsilon)$ , то получим две формы «невозмущенной» системы:

$$d\theta/d\tau = -\mu + \cos 2\theta + 2\rho, \quad d\rho/d\tau = 2\rho (\sin 2\theta - \chi) \quad (2.5)$$

$$dx_1/d\tau = -\chi x_1 + (\mu + 1) x_2 - (x_1^2 + x_2^2) x_2 \quad (2.6)$$

$$dx_2/d\tau = -(\mu - 1) x_1 - \chi x_2 + (x_1^2 + x_2^2) x_1$$

Полученная невозмущенная система важна не только в рассматриваемой задаче о движении маятника с вибрирующим подвесом. Система (2.5) (или (2.6)) типична для задач о нелинейных колебаниях близкой к гамильтоновой периодической по времени системе с одной степенью свободы, когда диссипативные силы являются силами вязкого трения и имеет место параметрический резонанс. Алгоритм приведения этих задач к рассмотрению системы (2.5) (или (2.6)) аналогичен изложенному выше алгоритму преобразования системы (1.2) (см. также [6]).

3. Анализ невозмущенной системы. Движение, описываемое невозмущенной системой при отсутствии диссипации ( $\chi = 0$ ) подробно исследовано в [7]. Здесь рассмотрим случай  $\chi > 0$ . Сразу отметим, что в этом случае у невозмущенной системы нет замкнутых фазовых траекторий. Это следует из критерия Бэндиксона [8], так как дивергенция вектора, первая и вторая компоненты которого совпадают с правыми частями соответствующих уравнений системы (2.6), равна  $-2\chi \neq 0$ . Периодическими движениями невозмущенной системы могут быть только ее положения равновесия.

а). *Равновесие*  $x_1 = x_2 = 0$ . При любых  $\chi$  и  $\mu$  невозмущенная система (2.6) имеет положение равновесия  $x_1 = x_2 = 0$ . Из характеристического уравнения

$$\lambda^2 + 2\chi\lambda + \chi^2 + \mu^2 - 1 = 0 \quad (3.1)$$

линеаризованной системы (2.6) следует, что для значений параметров  $\chi, \mu$ , лежащих внутри полукруга  $\chi > 0, \chi^2 + \mu^2 < 1$  (область  $F$  на фиг. 2), равновесие  $x_1 = x_2 = 0$  неустойчиво, а вне этого полукруга, где  $\chi > 0, \chi^2 + \mu^2 > 1$ , имеет место асимптотическая устойчивость. В фазовой плоскости  $x_1, x_2$  начало координат будет седлом внутри полукруга  $F$ , а вне  $F$  — фокусом при  $\chi > 0, |\mu| > 1$  и устойчивым узлом при  $\chi > 0, |\mu| \leq 1$ .

В предельном случае гамильтоновой системы ( $\chi = 0$ ) особая точка  $x_1 = x_2 = 0$  будет (см. [7, 9]) центром при  $\mu > 1$  или  $\mu \leq -1$ , сложным седлом при  $\mu = 1$  и седлом при  $|\mu| < 1$ .

Рассмотрим еще граничные значения параметров  $\chi, \mu$ , лежащие на дуге окружности  $\chi > 0, \chi^2 + \mu^2 = 1$ . В этом случае уравнение (3.1) имеет корни  $\lambda_1 = 0$  и  $\lambda_2 = -2\chi$ . Для выяснения характера особой точки  $x_1 = x_2 = 0$  нужно рассмотреть полную нелинейную систему (2.6). Сделав в этой системе замену переменных  $x_1 = (\mu + 1)(x + y)$ ,  $x_2 = \chi(x - y)$ , приведем ее к виду, удобному для исследования устойчивости в критическом случае одного нулевого корня [10]:

$$dx/dt = 2(\mu + 1)\chi^{-1}(\mu x + y)(x^2 + \mu xy + y^2)$$

$$dy/d\tau = -2\chi y - 2(\mu + 1)\chi^{-1}(x + \mu y)(x^2 + \mu xy + y^2)$$

Приравняв нулю правую часть второго уравнения и разрешив полученное соотношение относительно  $y$ , получим ряд по степеням  $x$ :  $y = -(\mu + 1)\chi^{-2}x^3 + \dots$ . Подставив это значение  $y$  в правую часть первого уравнения, получим ее в виде ряда  $\Delta_3 x^3 + \Delta_5 x^5 + \dots$ , где  $\Delta_3 = 2\mu(\mu + 1)\chi^{-1}$ ,  $\Delta_5 = -2(\mu + 1)^2(\mu^2 + 1)\chi^{-3}$ . Величина  $\Delta_3$  положительна на верхней части ( $\mu > 0$ ) рассматриваемой полуокружности и отрицательна на нижней ее части ( $\mu < 0$ ). В первом случае особая точка  $x_1 = x_2 = 0$  является сложным седлом, а во втором — сложным устойчивым узлом [11]. При  $\mu = 0$  ( $\chi = 1$ ) особая точка  $x_1 = x_2 = 0$  также будет сложным устойчивым узлом, так как в этом случае величина  $\Delta_3 = 0$ , а  $\Delta_5 = -2 < 0$ . Таким образом [10], на части граничной кривой, где  $\chi > 0, \mu > 0, \chi^2 + \mu^2 = 1$ , равновесие  $x_1 = x_2 = 0$  неустойчиво, а на той части, где  $\chi > 0, \mu \leq 0, \chi^2 + \mu^2 = 1$  — асимптотически устойчиво.

б). *Другие равновесия*. Теперь рассмотрим положения равновесия невозмущенной системы, отличные от начала координат. Соответствующие значения величин  $\rho, \theta$  обозначим через  $\rho_*, \theta_*$ . Согласно (2.5) они удовлетворяют системе уравнений

$$\sin 2\theta_* = \chi, \quad \cos 2\theta_* = \mu - 2\rho_* \quad (3.2)$$

Следовательно величина  $\rho_*$  должна быть положительным корнем уравнения

$$4\rho_*^2 - 4\mu\rho_* + \chi^2 + \mu^2 - 1 = 0 \quad (3.3)$$

При известном  $\rho_*$  величина  $\theta_*$  определяется из (3.2) с точностью до величины, кратной  $\pi$ .

В областях плоскости  $\chi, \mu$ , определяемых системами неравенств  $\chi > 1, \mu \geq 0$  и  $\chi^2 + \mu^2 \geq 1, \mu < 0$ , уравнение (3.3) не имеет положительных корней. При  $\chi = 1, \mu > 0$  оно имеет двукратный положительный корень  $\rho_* = \mu/2$ .

В полукруге  $F$  (фиг. 2 и 3) существует один положительный корень (при этом второй корень  $\rho_* = \rho_2$  отрицателен):

$$\rho_* = \rho_1 = 1/2 (\mu + \sqrt{1 - \chi^2}) \quad (3.4)$$

В области  $G$ , определяемой неравенствами  $\chi^2 + \mu^2 > 1$ ,  $\mu > 0$ ,  $0 < \chi < 1$  (фиг. 3), уравнение (3.3) имеет два положительных корня ( $\rho_1 > \rho_2$ ):

$$\rho_* = \rho_1 = 1/2 (\mu + \sqrt{1 - \chi^2}), \quad \rho_* = \rho_2 = 1/2 (\mu - \sqrt{1 - \chi^2}) \quad (3.5)$$

На дуге окружности, разделяющей области  $F$  и  $G$ , существует один положительный корень  $\rho_* = \rho_1 = \mu$ .

Для исследования устойчивости равновесий  $\rho_*$ ,  $\theta_*$  и выяснения характера соответствующих им особых точек фазовой плоскости сделаем в уравнениях (2.5) замену переменных  $\theta = \theta_* + u$ ,  $\rho = \rho_* + v$ . Ограничиваясь членами не выше второй степени относительно  $u$ ,  $v$ , имеем следующие уравнения возмущенного движения в окрестности точки  $\rho = \rho_*$ ,  $\theta = \theta_*$ :

$$du/d\tau = -2\chi u + 2v + \partial H_3/\partial v \quad (3.6)$$

$$dv/d\tau = -4\rho_* (2\rho_* - \mu) u - \partial H_3/\partial u$$

$$H_3 = 4/3 \chi \rho_* u^3 + 2 (2\rho_* - \mu) u^2 v$$

Характеристическое уравнение

$$\lambda^2 + 2\chi\lambda + 8\rho_* (2\rho_* - \mu) = 0 \quad (3.7)$$

при  $\rho_* = \rho_k$  можно преобразовать к виду

$$\lambda^2 + 2\chi\lambda + (-1)^{k-1} 8\rho_k (\rho_1 - \rho_2) = 0 \quad (k = 1, 2)$$

Учитывая, что величина  $\rho_1 - \rho_2$  положительна как в области  $F$ , так и в области  $G$ , получаем отсюда, что в области  $F$ , где существует один положительный корень уравнения (3.3), равновесие  $\rho = \rho_* = \rho_1$ ,  $\theta = \theta_*$  асимптотически устойчиво, а в области  $G$ , где уравнение (3.3) имеет два положительных корня ( $\rho_1 > \rho_2$ ), равновесие, отвечающее большему и меньшему из корней, асимптотически устойчиво и неустойчиво соответственно.

В фазовой плоскости  $x_1$ ,  $x_2$  особые точки, для которых  $\rho_* = \rho_2$ , являются седлами. Особые точки, для которых  $\rho_* = \rho_1$ , будут либо устойчивыми фокусами, если  $\chi^2 < 8\rho_1 (\rho_1 - \rho_2)$ , либо устойчивыми узлами, если  $\chi^2 \geq 8\rho_1 (\rho_1 - \rho_2)$ . Учитывая (3.4), (3.5), уравнение кривой, разделяющей области с различным характером особых точек  $\rho = \rho_* = \rho_1$ ,  $\theta = \theta_*$ , можно получить в виде

$$\mu = 1/4 (5\chi^2 - 4) (1 - \chi^2)^{-1/2} \quad (3.8)$$

На фиг. 3 кривая (3.8) изображена штриховой линией. Левее и выше этой кривой особые точки, для которых  $\rho_* = \rho_1$ , будут устойчивыми фокусами. На самой кривой и правее и ниже нее они будут устойчивыми узлами.

Рассмотрим еще равновесия  $\rho_*$ ,  $\theta_*$  для значений параметров, лежащих на бифуркационной кривой — луче  $\chi = 1$ ,  $\mu > 0$ . В этом случае характеристическое уравнение (3.7) имеет корни  $\lambda_1 = 0$  и  $\lambda_2 = -2$ .

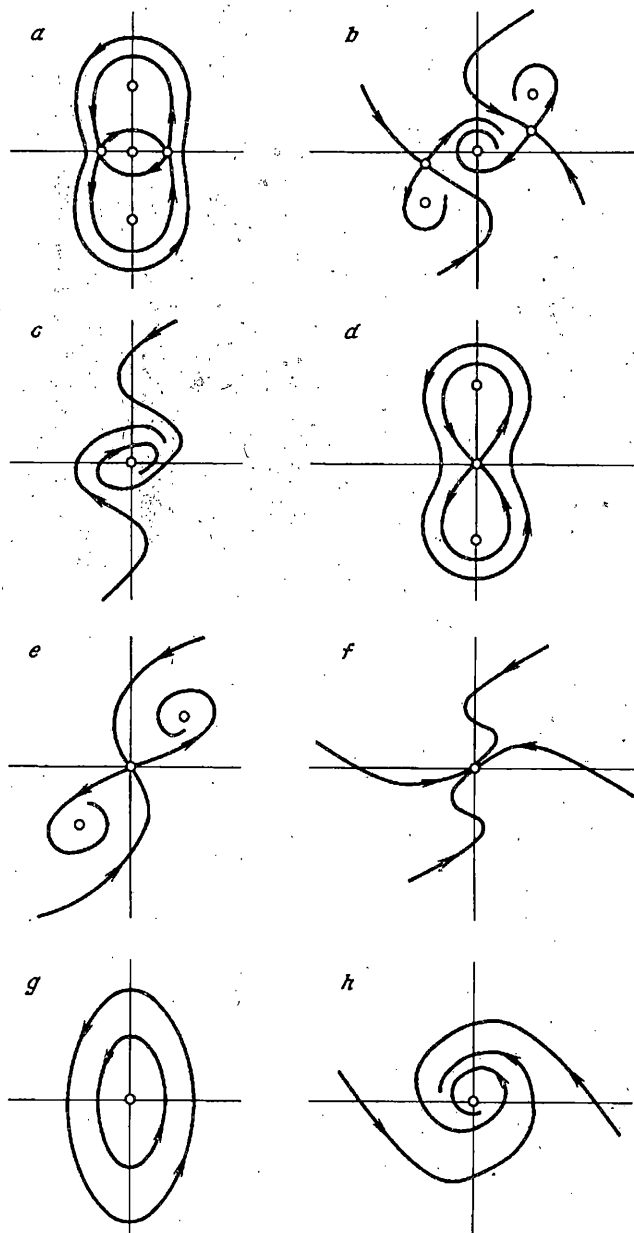
Нелинейные уравнения возмущенного движения (3.6) записываются в виде

$$du/d\tau = -2u + 2v, \quad dv/d\tau = -2\mu u^2$$

В переменных  $x = v$ ,  $y = u - v$  они принимают форму, удобную при анализе устойчивости в критическом случае одного нулевого корня:

$$dx/d\tau = -2\mu (x + y)^2, \quad dy/d\tau = -2y + 2\mu (x + y)^2$$

Приравнивание нулю правой части второго уравнения дает ряд



Фиг. 4

$y = \mu x^2 + \dots$ . Для такого  $y$  правая часть первого уравнения представляется рядом  $-2\mu x^2 + \dots$ . Следовательно [10, 11], равновесие неустойчиво. Соответствующая особая точка фазовой плоскости — простейший двукратный седло-узел. Она имеет один устойчивый узловый сектор и два седловых [11].

Проведенный анализ дает полное представление о перестройках фазового портрета невозмущенной системы при изменении параметров  $\lambda$ ,  $\mu$ . Для некоторых типичных значений параметров фазовые портреты в плоскости  $x_1$ ,  $x_2$  показаны на фиг. 4а—4г. Этим значениям параметров соответствуют точки  $a, \dots, h$  на фиг. 3.

4. Субгармонические колебания маятника. Рассмотрим теперь возмущенную систему (2.3) (или (2.4)). Поведение ее решений, вообще говоря, существенно отличается от поведения решений невозмущенной системы. Но для задачи о субгармонических

колебаниях маятника достаточно установить соответствие между равновесиями невозмущенной и периодическими движениями возмущенной системы.

Равновесие  $x_1 = x_2 = 0$  существует и в возмущенной системе, оно соответствует равновесию маятника на вертикали ( $\alpha = 0$ ). Из непрерывности характеристических показателей и теоремы Ляпунова об устойчивости по первому приближению следует, что при достаточно малых  $\varepsilon$  равновесие маятника  $\alpha \equiv 0$  неустойчиво вне  $F$ . Граничные значения параметров  $\chi, \mu$ , лежащие на дуге окружности  $\chi > 0, \chi^2 + \mu^2 = 1$ , при анализе устойчивости равновесия  $\alpha \equiv 0$  в возмущенной задаче исключаем из рассмотрения.

Теперь рассмотрим равновесия  $\rho_*, \theta_*$  невозмущенной системы, не совпадающие с началом координат. Эти равновесия существуют в областях  $F$  и  $G$  фиг. 3 (луч  $\chi = 1, \mu > 0$  в возмущенной задаче не рассматриваем). Корни соответствующего характеристического уравнения имеют отличные от нуля вещественные части. Замечая, что члены  $O(\varepsilon)$  в системе (2.3) (или (2.4)) имеют период  $4\pi\Omega^{-1}$  по времени, на основании теории Пуанкаре периодических движений квазилинейных систем [12] получаем, что при достаточно малых  $\varepsilon$  в области  $F$  существует одно, а в области  $G$  — два субгармонических колебания маятника с частотой, равной  $1/2 \Omega$ . При  $\varepsilon = 0$  они переходят в равновесия  $\rho = \rho_*, \theta = \theta_*$  невозмущенной системы. Отметим, что особые точки фазовой плоскости фиг. 4, у которых значения  $\rho_*$  одинаковы, а значения  $\theta_*$  отличаются на  $\pi$ , соответствуют одному и тому же  $4\pi\Omega^{-1}$  — периодическому движению маятника.

Используя опять непрерывность характеристических показателей по  $\varepsilon$  и теорему Ляпунова об устойчивости по первому приближению, получаем, что субгармонические колебания маятника, отвечающие значениям  $\rho_* = \rho_1$  и  $\rho_* = \rho_2$  асимптотически устойчивы и неустойчивы соответственно.

Работа выполнена при финансовой поддержке Российского фонда фундаментальных исследований (93-013-16257) и Международного научного фонда (MFG300).

#### СПИСОК ЛИТЕРАТУРЫ

1. Skalak R., Yarymovych M. I. Subharmonic oscillations of a pendulum//Trans. ASME. ser. E. J. Appl. Mech. 1960. V. 27. No. 1. P. 159—164.
2. Caughey T. K. Subharmonic oscillations of a pendulum//Trans. ASME. ser. E. J. Appl. Mech. 1960. V. 27. No. 4. P. 754—755.
3. Struble R. A. On the subharmonic oscillations of a pendulum//Trans. ASME. ser. E. J. Appl. Mech. 1963. V. 30. No. 2. P. 301—303.
4. Struble R. A. Oscillation of a pendulum under parametric excitation//Quart. Appl. Math. 1963. V. 21. No. 2. P. 121—131.
5. Джакалья Г. Е. О. Методы теории возмущений для нелинейных систем. М.: Наука, 1979. 319 с.
6. Маркеев А. П. О резонансе третьего порядка в близкой к гамильтоновой системе с одной степенью свободы//Изв. РАН. МТТ. 1995. № 2. С. 48—53.
7. Маркеев А. П. Параметрический резонанс и нелинейные колебания тяжелого твердого тела в окрестности его плоских вращений//Изв. РАН. МТТ. 1995. № 5. С. 34—44.
8. Немыцкий В. В., Степанов В. В. Качественная теория дифференциальных уравнений. М.; Л.: Гостехиздат, 1949. 550 с.
9. Маркеев А. П. О поведении нелинейной гамильтоновой системы с одной степенью свободы на границе области параметрического резонанса//ПММ. 1995. Т. 59. Вып. 4. С. 569—580.
10. Малкин И. Г. Теория устойчивости движения. М.: Наука, 1966. 530 с.
11. Баутин Н. Н., Леонтович Е. А. Методы и приемы качественного исследования динамических систем на плоскости. М.: Наука, 1976. 496 с.
12. Малкин И. Г. Некоторые задачи теории нелинейных колебаний. М.: Гостехиздат, 1956. 491 с.